



تحلیل ارتعاشات آزاد پوسته استوانهای FML طراحی شده براساس زوایای بهینه فیبرهای تقویت کننده

علی نظری^۱, کرامت ملکزاده‌فرد^{۲*}, علی اصغر نادری^۳

۱-دانشجوی دکتری، مهندسی هوافضا، پژوهشگاه هوافضا، تهران

۲- استاد، مهندسی مکانیک، دانشگاه صنعتی مالک‌اشتر، تهران

۳- استادیار، مهندسی مکانیک، دانشگاه امام علی، تهران

* تهران، صندوق پستی ۱۳۹۱۵-۷۶۸ kmalekzadeh@mut.ac.ir

چکیده

یکی از مزایای پوسته‌های کامپوزیتی این است که تحت بارهای دینامیکی دچار تغییر شکل‌های بزرگ می‌گردد و این امر منجر به کاهش محسوس استحکام این پوسته‌ها می‌گردد. یکی از راه‌های کاهش این اثرات منفی استفاده از پوسته‌های کامپوزیتی فلز و الیاف است که به اختصار FML نامیده می‌شوند. برای کاهش هر چه بیشتر تأثیر منفی بارهای دینامیکی بر استحکام پوسته‌های FML، در این پژوهش زوایای بهینه قرارگیری فیبرهای تقویت کننده لایه‌های کامپوزیتی پوسته‌های FML با دلخواه دستیابی به بیشترین استحکام ممکن برای پوسته، مشخص گردیده‌اند. به این منظور در ابتدا پوسته تحت بار استاتیکی عرضی قرار گرفته و با استفاده از نرم‌افزار آباکوس، تحلیل تنش برای تمامی وضعیت‌های زوایای قرارگیری فیبرها انجام گرفته و با استخراج تنش‌های ایجاد شده در تمامی لایه‌ها و استفاده از نرم‌افزار نت‌ب زاویه قرارگیری بهینه فیبرهای تقویت کننده که منجر به بیشترین استحکام ممکن برای پوسته مورد بررسی گردیده‌اند براساس معیار شکست تنش ماتریس مشخص شده است. سپس به منظور تعیین کارایی و صحت طراحی انجام شده، تحلیل ارتعاشات آزاد ساختارهای طراحی شده انجام گرفته است. تناوب نشان می‌دهد قرارگیری فیبرهای تقویت کننده با زوایای بهینه منجر به افزایش قابل ملاحظه‌ای در سختی پوسته‌های FML می‌گردد. جهت استخراج معادلات حاکم از روش انرژی و تئوری مرتبه بالا و برای اجراه فرایند بهینه‌سازی از روش شمارش کامل که منجر به جواب دقیق برای مساله می‌گردد استفاده شده است.

اطلاعات مقاله

مقاله پژوهشی کامل

دریافت: ۲۰ بهمن ۱۳۹۶

پذیرش: ۰۸ اسفند ۱۳۹۶

ارائه در سایت: ۰۷ اردیبهشت ۱۳۹۷

کلید واژگان:

ارتعاشات آزاد

پوسته چند لایه فلز و کامپوزیت

معیار شکست

جهت گیری فیبرها

Free vibration analysis of designed FML circular cylindrical shell based on optimum fiber orientation

Ali Nazari^۱, Keramt Malekzadeh Fard^{۲*}, Ali Asghar Naderi^۳

۱- Department of Aerospace Engineering, Aerospace research institute, Tehran, Iran

۲- Department of aerospace Engineering, malekashtr University, Tehran, Iran

۳- Department of Mechanical Engineering, University of emamali, Tehran, Iran

* P.O.B. 13915-768, Tehran, Iran, kmalekzadeh@mut.ac.ir

ARTICLE INFORMATION

Original Research Paper

Received 09 February 2018

Accepted 07 April 2018

Available Online 27 April 2018

Keywords:

Free vibration

fiber metal laminated shell

fracture criterion

fiber orientation

ABSTRACT

The big deformation of composite structures under dynamic loads is one of the most disadvantages of these structures that cause to loss of stiffness of them. The using of fiber metal laminated shell that named FML in abbreviation is one of the ways to decrease the adverse effect of dynamic load. In this study the optimum fiber orientation of composite layers of the FML circular cylindrical shells are determined to more decrease the adverse effect of dynamic loads. For this purpose the fiber orientation of composite layers of the FML circular cylindrical shells are changed frequently and each cases being subjected to axial compressive load and with use of ABAQUS program the tension of all composite layers are calculated for all cases. Then with use of MATLAB program the fiber orientation that cause to maximum stiffness based on maximum tension fracture criterion is selected. The free vibration analysis is used for determination the accuracy and performance of design process. The results of free vibration analyses show that determination of the optimum fiber orientation cause to improvement of the FML shell natural frequency. Energy method and high order shear deformation theory is used to define the equation of motion. Full Calculus method is used for optimization in order to apply the exact result.

مشخصات ارتعاشی سیستم الزامی می‌باشد. همچنین پوسته‌های استوانهای

کامپوزیتی به دلیل قابلیت‌های سازه‌ای ویژه، جهت استفاده در سیستم‌های

فضایی بسیار مورد توجه‌اند. با توجه به این که سازه‌های هوافضایی عموماً تحت

۱- مقدمه ورق‌ها و پوسته‌ها برای استفاده در بسیاری از سازه‌های مکانیکی، تحت

بارگذاری‌های دینامیکی طراحی می‌شوند که جهت انجام این کار دانستن

بعدی پوسته‌های استوانهای را تحت شرایط مزدی مختلف بر روی فونداسیون الاستیک مورد بررسی قرار دادند. آن‌ها برای حل معادلات از روش ریلی ریتز بر پایه توابع انرژی استفاده نمودند. سن و همکارانش [12]، در سال 2015 با ارائه یک پروسه طراحی بهینه، لایه‌چینی پوسته‌های FML را براساس معیار ایجاد ترک بهینه نمودند. تیولو و همکارانش [13]، در سال 2016 به بررسی تغییر شکل الاستیک پوسته‌های استوانهای کامپوزیت چند لایه با سفتی متغیر پرداختند. آن‌ها در تحقیق خود برای دستیابی به مزیت‌های کامل تغییر سفتی پوسته‌ها با تغییر جهت‌گیری فیبرها، پاسخ آن‌ها به انواع مختلف بارگذاری‌های خارجی را مورد بررسی قرار دادند. مارجانویج و همکارانش [14]، در سال 2016 به بررسی ارتعاشات آزاد پوسته‌های کامپوزیتی ناپیوسته لیروایز پرداختند. نظام اسلامی و همکارانش [15]، در سال 2017 با استفاده از تئوری پوسته‌های نازک ساندرز به بررسی ارتعاشات آزاد پوسته‌های کامپوزیتی تقویت شده پرداختند و از روش معادل سازی سفتی برای بدست آوردن ضربه‌های سفتی پوسته استفاده نمودند و تاثیر عوامل مختلف از جمله ضخامت پوسته را بر فرکانس‌های طبیعی بررسی نمودند. زارعی و رحیمی [17,16]، در سال 2017 به بررسی ارتعاشات آزاد پوسته‌های کامپوزیتی استوانهای و مخروطی تحت شرایط مزدی مختلف پرداختند و معادلات مربوطه را بر مبنای تئوری دائل استخراج نمودند. آن‌ها اثرات تغییرات پارامترهای هندسی را نیز بر فرکانس‌های طبیعی مورد بررسی قرار دادند.

در پژوهش حاضر برای اولین بار زاویه قرار گیری فیبرهای تقویت کننده لایه‌های کامپوزیتی پوسته‌های چند لایه فلز و کامپوزیت براساس معیار شکست تنش ماکریم با هدف دستیابی به بیشترین استحکام ممکن برای پوسته‌های FML تعیین گردیده‌اند. سپس جهت تعیین تاثیر فرایند طراحی انجام شده بر افزایش سختی پوسته، تحلیل ارتعاشی پوسته‌های طراحی شده در پژوهش حاضر برای اولین بار زاویه قرار گیری فیبرهای کامپوزیتی، تعیین میزان اثربخشی تغییر زاویه قرار گرفته است. همچنین مقایسه و تعیین میزان اثربخشی تغییر زاویه فلزی و تغییر ضخامت بر روی فرکانس‌های طبیعی از دیگر نوآوری‌های این تحقیق نسبت به تحقیقات گذشته می‌باشد که مشخص گردیده تحت شرایط مختلف با تغییر در کدام یک از پارامترهای اشاره شده می‌توان بیشترین افزایش را در سختی پوسته شاهد بود.

2- بررسی فرایند طراحی بهینه پوسته FML براساس معیار شکست تنش ماکریم

نحوه صدمه دیدن پوسته‌های FML در برابر بارهای وارده به این گونه است که ابتدا لایه‌های کامپوزیتی تشکیل‌دهنده این پوسته‌ها دچار شکست می‌شوند و سپس لایه‌های فلزی آن‌ها دچار تغییر شکل می‌گردند. در نتیجه اگر بتوان ساختار این پوسته‌ها را به گونه‌ای طراحی نمود که مقاومت لایه‌های کامپوزیتی آن‌ها در برابر شکست افزایش یابد، می‌توان ظرفیت تحمل بارگذاری این پوسته‌ها را به طور قابل ملاحظه‌ای افزایش داد.

از منظر حالت حد استحکام، شکست کامپوزیت‌های چند لایه را می‌توان در دو دسته مهم تقسیم‌بندی کرد:

- شکست لایه اول: این حالت به این معنا است که اگر هر یک از لایه‌ها در یک لمینیت دچار شکست شود کل لایه دچار فرض شکستگی می‌شود.
- شکست لایه آخر: در این حالت اگر تمام لایه‌ها دچار شکست شوند لمینیت دچار شکست می‌شود.

مقدار تنش و کرنش مجاز مواد مركب باید طوری تعیین شوند که در اثر

بارگذاری‌های مختلف قرار می‌گیرند مواد به کار رفته در این سازه‌ها می‌باشد دارای مشخصاتی نظیر مقاومت استاتیکی بالا، محدوده خرابی بالا، مقاومت خستگی، مقاومت در برابر رشد ترک و ... باشند. کامپوزیت‌های FML بهدلیل دارا بودن تمام این خصوصیات مواد مناسبی جهت کاربرد در این سازه‌ها می‌باشند. امروزه بخش مهمی از تحقیقات در حوزه تحلیل شکست مواد مركب انجام می‌گیرد و توجه ویژه‌ای به تخمین محدوده خرابی سازه‌های هوافضایی به خصوص در پوسته سازه‌های تحت بارهای عرضی می‌شود. همچنین موضوع ارتعاشات پوسته‌ها نیز شاخه وسیعی از تحقیقات را به خود اختصاص داده است. از جمله کارهای تحقیقاتی ارائه شده در زمینه تحلیل شکست و ارتعاشات پوسته‌های استوانهای می‌توان به تحقیقات لام و لوی [1]، در سال 1995 اشاره نمود که تاثیر شرایط مزدی و جهت‌گیری لایه‌های کامپوزیتی را بر روی فرکانس‌های طبیعی پوسته چند لایه ارتوتروپیک مورد بررسی قرار دادند. آن‌ها از تئوری لاو و روش ریتز استفاده نمودند. نام و وانگ [2]، در سال 2001 طرح ترتیب چینش لایه‌های پوسته FML را برای دستیابی به حدکثتر استحکام ممکن ارائه نمودند. آنکه کرون و همکارانش [3]، در سال 2003 به بررسی کمانش و ارتعاشات پوسته‌های کامپوزیتی استوانهای پوسته از قانون همسان‌سازی استفاده نمودند و نتایج حاصل از تحلیل کمانش و ارتعاشات یک پرووتایپ را به نمونه واقعی بسط دادند. نیوی و همکارانش [4]، در سال 2007 فرکانس طبیعی پایه پوسته‌های استوانهای کامپوزیتی چند لایه را تحت قید معیار واماندگی تساي-هیل بهینه نمودند. یاواکو و همکارانش [5]، در سال 2009 کمانش و ارتعاشات ورق‌های چند لایه کامپوزیتی با انواع فاصله‌گذاری فیبرهای تقویتی را با روش المان محدود بررسی نمودند. آن‌ها در تحقیق خود از قانون همسان‌سازی استفاده نمودند و نتایج حاصل از تحلیل کمانش و ارتعاشات یک پرووتایپ را به نمونه واقعی بسط دادند. نیوی و همکارانش [4]، در سال 2007 فرکانس طبیعی پایه پوسته‌های استوانهای کامپوزیتی چند لایه را تحت قید معیار واماندگی تساي-هیل بهینه نمودند. یاواکو و همکارانش [5]، در سال 2009 کمانش و ارتعاشات ورق‌های چند لایه کامپوزیتی با انواع فاصله‌گذاری فیبرهای تقویتی را با روش المان محدود بررسی نمودند. آن‌ها ثابت نمودند که استفاده از فیبرهای بیشتر در محدوده مرکز ورق می‌تواند به طور موثری بار کمانش و فرکانس طبیعی ورق را افزایش دهد. ملکزاده و همکارانش [6]، در سال 2010 پاسخ دینامیکی پوسته‌های استوانهای FML تحت پیش‌تنش و بارهای پالسی عرضی را مورد بررسی قرار دادند. آن‌ها برای به دست آوردن معادلات تعادل از تئوری برشی مرتبه اول و برای حل معادلات از روش گلرکین استفاده کردند و جهت تعیین پاسخ دینامیکی پوسته در ابتدا تحلیل ارتعاشات آزاد پوسته مورد بررسی را انجام دادند و مقادیر فرکانس‌های طبیعی را محاسبه نمودند. کاوبانی و میردامادی [7]، در سال 2011 به بررسی ارتعاشات آزاد پوسته‌های چند لایه کامپوزیتی پرداختند و با ارائه تئوری چهار متفاوته توائین‌شده شرایط تنش برشی صفر را بر روی لایه‌ها مدل‌سازی نمایند. آن‌ها تاثیر پارامترهایی مانند نسبت مدول الاستیسیته، نسبت طول به ضخامت و سایر پارامترهای هندسی را بر رفتار ارتعاشی پوسته‌ها بررسی نمودند. خلیلی و همکارانش [8]، در سال 2012 به بررسی ارتعاشات آزاد پوسته‌های استوانهای FML با استفاده از تئوری الاستیسیته سه بعدی مرتبه بالا پرداختند. لانگ شن ژائو و همکارانش [9]، در سال 2013 با استفاده از تئوری لیروایز فرکانس‌های طبیعی و رفتار ارتعاشی ورق‌های چند لایه کامپوزیتی را مورد بررسی قرار دادند و نتایج حاصله را با نتایج تحلیل تجربی مقایسه نمودند و با ترکیب روش‌های تحلیلی و تجربی به پیش‌بینی رفتار ارتعاشی و فرکانس‌های طبیعی پوسته‌های چند لایه پرداختند. ملکزاده و همکارانش [10]، در سال 2014 به بررسی ارتعاشات آزاد و خمی استاتیکی ورق‌های کامپوزیتی اتحادیار پرداختند. آن‌ها معادلات تعادل را با استفاده از اصل همیلتون استخراج نموده و اثرات پارامترهای هندسی را بر رفتار ارتعاشی این ورق‌ها بررسی نمودند. تیانگوی یه و همکارانش [11]، در سال 2014 آنالیز ارتعاشات آزاد سه

ماهیت این تحقیق مقدار زمان صرف شده برای اجراء مراحل بهینه‌سازی در برنامه کامپیوتری نوشته شده منطقی و قابل قبول می‌باشد.

فرایند بهینه‌سازی اجرا شده در این پژوهش به این گونه است که ابتدا تعداد کل ترکیب‌های ممکن برای زوایای قرارگیری فیبرهای تقویت‌کننده لایه‌های کامپوزیتی پوسته FML با استفاده از رابطه (2) مشخص می‌شوند.

$$(2) \quad U = R^N$$

در رابطه (2)، R معرف تعداد تک لایه‌های تشکیل‌دهنده هر لایه کامپوزیتی و N معرف تعداد زوایای قابل تخصیص به هر یک از فیبرهای تقویت‌کننده این تک لایه‌ها می‌باشد و با تغییر وضعیت قرارگیری زوایای فیبرهای تقویت‌کننده لایه‌های کامپوزیتی ساختارهای مختلفی برای پوسته FML موردنظر ایجاد می‌گردد.

حال باید از بین تمامی ساختارهای ممکن برای زوایای قرارگیری فیبرهای تقویت‌کننده تک لایه‌های تشکیل‌دهنده لایه‌های کامپوزیتی پوسته FML. زاویه‌چینی که منجر به بیشترین استحکام ممکن برای پوسته می‌گردد را مشخص نمود.

به این منظور در اولین گام با توجه به تعداد لایه‌های فلز و کامپوزیت پوسته FML و همچنین زوایای در نظر گرفته شده برای قرارگیری فیبرهای تقویت‌کننده لایه‌های کامپوزیتی، یک پوسته FML با زاویه‌چینی دلخواه برای فیبرهای تقویت‌کننده لایه‌های کامپوزیتی در محیط نرم‌افزار آباکوس ایجاد می‌گردد. سپس این پوسته تحت بارگذاری عرضی قرار گرفته و تمامی تنش‌های حاصل از این بارگذاری در لایه‌های کامپوزیتی استخراج می‌شوند. سپس میزان تنش ماکریم فیبرهای تقویت‌کننده تعیین شده و با استفاده از روابط (1)، میزان تنش ماکریم در جهات اصلی محاسبه می‌گردد. حال با تقسیم نمودن تنش ماکریم در جهات اصلی بر میزان حد استحکام نهایی فیبرهای تقویت‌کننده آن لایه، ضریب K برای زاویه‌چینی مورد بررسی محاسبه می‌گردد. ضریب K معیاری است جهت مقایسه میزان استحکام ساختارهای مختلف زاویه‌چینی فیبرهای تقویت‌کننده لایه‌های کامپوزیتی که بهصورت رابطه (3) تعریف می‌گردد:

$$(3) \quad \frac{\text{تش ماکریم فیبر در جهت اصلی}}{\text{تش تسليیم فیبر}} = K = \frac{X_c}{\cos^2\theta} < \sigma_x < \frac{X_t}{\cos^2\theta}$$

$$\frac{Y_c}{\sin^2\theta} < \sigma_x < \frac{Y_t}{\sin^2\theta}$$

$$|\sigma_x| < \left| \frac{S}{\sin\theta\cos\theta} \right|$$

حال با لینک برنامه نوشته شده در محیط نرم‌افزار متلب با نرم‌افزار آباکوس زوایای قرارگیری فیبرهای تقویت‌کننده لایه‌های کامپوزیتی پوسته FML مورد بررسی مرتباً تغییر کرده و برای تمامی ساختارهای ایجاد شده روند مذکور انجام گرفته و میزان ضریب K برای تمامی این ساختارها با استفاده از نرم‌افزارهای متلب و آباکوس استخراج می‌گردد. سپس با مقایسه ضرایب K محاسبه شده، زاویه‌چینی که منجر به کمترین ضریب K گردیده به عنوان زاویه‌چینی مطلوب که منجر به بیشترین استحکام ممکن برای پوسته می‌گردد انتخاب می‌شود. بعد از تعیین ساختار مطلوب پوسته‌های FML این ساختارها تحت تحلیل ارتعاشی قرار می‌گیرند. در ادامه نحوه انجام تحلیل ارتعاشی این ساختارها بررسی گردیده است.

3- میدان جابجایی

در بین تئوری‌های موجود برای بیان رفتار ورق‌ها و پوسته‌ها تئوری‌های مرتبه بالا رفتار سینماتیکی آن‌ها را بهتر بیان می‌دارند و در صورت استفاده از این تئوری‌ها دیگر نیازی به استفاده از ضرایب تصحیح برشی نیست. در این

اعمال آن‌ها عیوبی در قطعه ایجاد نشود. معمولاً افزایش تنش‌ها به بیشتر از مقدار بحرانی، موجب گسیختگی ناگهانی مواد مرکب نمی‌شوند، بلکه عیوبی در قطعه ایجاد می‌کنند که به تدریج گسترش یافته و با ادامه بارگذاری، موجب گسیختگی و شکست ماده مرکب می‌شوند. برخلاف مواد همسان گرد، استحکام مواد مرکب وابسته به جهت اعمال بارگذاری است. جهت طراحی مواد مرکب و به منظور بررسی ارزیابی صحت عملکرد آن‌ها با توجه به توزيع تنش اعمالی، معیاری مناسب نیاز است تا براساس این معیار، بارگذاری مجاز طوری تعیین شود که در ماده هیچ عیوبی ایجاد نگردد، زیرا ایجاد کوچک‌ترین عیوب در ماده، موجب شکست قطعه با تداوم بارگذاری می‌شود. بنابراین حد بالای شرایط بارگذاری مجاز با استفاده از معیارهای شکست به دست می‌آید. در این تحقیق از معیار شکست تنش ماکریم جهت طراحی پوسته FML استفاده گردیده است. در این تحقیق تمامی تنش‌های ایجاد شده در لایه‌های کامپوزیتی پوسته با استفاده از نرم‌افزار آباکوس محاسبه شده و برای محاسبه معیار شکست تنش ماکریم و تعیین زاویه‌چینی مطلوب از نرم‌افزار متلب و لینک این نرم‌افزار با نرم‌افزار آباکوس استفاده گردیده است. در معیار شکست تنش ماکریم هر کدام از تنش‌های حاصل در جهت محورهای اصلی مواد باقیست از مقاومت فیبر در جهت مربوطه کمتر باشد که در غیر این صورت شکست اتفاق می‌افتد. توجه شود که در این معیار هیچ تداخلی بین تنش‌ها وجود نداشته و هر کدام به صورت مستقل مورد بحث قرار می‌گیرند. در این معیار تنش‌های اصلی در راستای محور مواد بر اثر اعمال تنش خارج از محور به صورت روابط (1) تعیین می‌گردد:

$$(1) \quad \begin{aligned} X_c &< \sigma_x < \frac{X_t}{\cos^2\theta} \\ Y_c &< \sigma_x < \frac{Y_t}{\sin^2\theta} \\ |\sigma_x| &< \left| \frac{S}{\sin\theta\cos\theta} \right| \end{aligned}$$

در رابطه (1)، X_c معرف مقاومت فشاری محوری در جهت الیاف، Y_c مقاومت کششی محوری در جهت الیاف، X_t مقاومت فشاری عرضی در جهت عمود بر الیاف، Y_t مقاومت کششی عرضی در جهت عمود بر الیاف و S مقاومت برشی می‌باشد. لازم به ذکر است هدف از بهینه‌سازی یافتن بهترین جواب قابل قبول، با توجه به محدودیتها و نیازهای مساله است. مسائل مختلف بهینه‌سازی به دو دسته مسائل بهینه‌سازی بی‌محدودیت و مسائل بهینه‌سازی با محدودیت تقسیم‌بندی می‌گردد. بسیاری از مسائل بهینه‌سازی در مهندسی، طبیعتاً پیچیده‌تر و مشکل‌تر از آن هستند که با روش‌های مرسوم بهینه‌سازی نظری روش برنامه‌ریزی ریاضی و نظایر آن قابل حل باشند. از جمله راه حل‌های موجود در برخورده با این گونه مسائل، استفاده از الگوریتم‌های تقریبی مانند الگوریتم ژنتیک، مورچگان و ... است. اما ایراد اساسی این الگوریتم‌ها این است که تضمینی نمی‌دهند که جواب به دست آمده بهینه و دقیق باشد و تنها با صرف زمان بسیار می‌توان جواب نسبتاً دقیقی به دست آورد و در حقیقت بسته به زمان صرف شده، دقت جواب تغییر می‌کند.

از آن جایی که در مقاله حاضر هدف، بیشینه کردن تابع هدف (مقاومت شکست ماکریم) بدون هرگونه محدودیتی بر روی متغیرهای طراحی، می‌باشد لذا از روش شمارش کامل که منجر به جواب دقیق برای مسائل می‌گردد برای بهینه‌سازی مساله استفاده گردیده است. همچنین با توجه به

¹ isotropic

$$\begin{aligned} \gamma_{\varphi z} &= \frac{\partial v}{\partial z} + \frac{1}{Z} \left(\frac{\partial w}{\partial \varphi} - v \right) & \varepsilon_z &= \frac{\partial w}{\partial z} \\ \gamma_{x\varphi} &= \frac{\partial v}{\partial x} + \frac{1}{Z} \left(\frac{\partial u}{\partial \varphi} \right) & \gamma_{xz} &= \frac{\partial u}{\partial z} + \left(\frac{\partial w}{\partial x} \right) \end{aligned} \quad (5)$$

برای استخراج معادلات حاکم و شرایط مرزی در این مقاله از روش انرژی و اصل همیلتون استفاده می‌شود، بر اساس این اصل [8]:

$$\int_0^t \delta L dt \equiv \int_0^t [\delta K - \delta U + \delta W] dt = 0 \quad (6)$$

در معادله (6)، δK تغییرات انرژی جنبشی، δU تغییرات انرژی کرنشی و δW کار بارهای خارجی وارد بر پوسته می‌باشد. همچنین δ اپراتور تغییرات مرتبه اول است.

تغییرات انرژی جنبشی به صورت رابطه (7) ارائه می‌گردد:

$$\int_0^t \delta K dt = \int_0^t \left[\iint_A \rho (\ddot{u} \delta u + \ddot{v} \delta v + \ddot{w} \delta w) dA \right] dt \quad (7)$$

در رابطه (7)، \ddot{u} ، \ddot{v} و \ddot{w} مؤلفه‌های شتاب در جهت محورهای x و y می‌باشند. رابطه‌ی مربوط به تغییرات انرژی کرنشی به صورت رابطه (8) می‌باشد [8]:

$$\begin{aligned} \int_0^t \delta U dt &= \int_0^t \iint_A \int_{-h/2}^{+h/2} [\sigma_x \delta \varepsilon_x + \sigma_\varphi \delta \varepsilon_\varphi + \sigma_z \delta \varepsilon_z \\ &\quad + \sigma_{x\varphi} \delta \varepsilon_{x\varphi} + \sigma_{xz} \delta \varepsilon_{xz} + \sigma_{\varphi z} \delta \varepsilon_{\varphi z}] dA dz dt \end{aligned} \quad (8)$$

پس از انتگرال‌گیری جزء به جزء از روابط حاصله و مرتب کردن براساس ضرایب، معادلات پوسته به صورت روابط (9) تا (20) حاصل می‌گرددند:

$$\begin{aligned} \frac{\partial N_x}{\partial x} + \frac{1}{R} \frac{\partial N_{\varphi x}}{\partial \varphi} - \frac{1}{2R^2} \frac{\partial M_{\varphi x}}{\partial \varphi} + N_x^i \frac{\partial^2 u_0}{\partial x^2} \\ = \frac{\partial^2 u_0}{\partial t^2} \bar{I}_0 + \frac{\partial^2 \theta_x}{\partial t^2} \bar{I}_1 + \frac{\partial^2 u_0^*}{\partial t^2} \bar{I}_2 + \frac{\partial^2 \theta_x^*}{\partial t^2} \bar{I}_3 \end{aligned} \quad (9)$$

$$\begin{aligned} \frac{1}{R} \frac{\partial N_\varphi}{\partial \varphi} + \frac{\partial N_{x\varphi}}{\partial x} + \frac{1}{R} Q_\varphi + \frac{1}{R} \frac{\partial M_{x\varphi}}{\partial x} + N_\varphi^i \frac{\partial^2 v_0}{\partial x^2} = \\ \bar{I}_0 \frac{\partial^2 v_0}{\partial t^2} + \bar{I}_1 \frac{\partial^2 \theta_\varphi}{\partial t^2} + \bar{I}_2 \frac{\partial^2 v_0^*}{\partial t^2} + \bar{I}_3 \frac{\partial^2 \theta_\varphi^*}{\partial t^2} \end{aligned} \quad (10)$$

$$\begin{aligned} \frac{\partial Q_x}{\partial x} + \frac{1}{R} \frac{\partial Q_\varphi}{\partial \varphi} + N_x^i \frac{\partial^2 w_0}{\partial x^2} - q_t - q_b = \frac{\partial^2 w_0}{\partial t^2} \bar{I}_0 \\ + \frac{\partial^2 \theta_x}{\partial t^2} \bar{I}_1 + \frac{\partial^2 w_0^*}{\partial t^2} \bar{I}_2 + \frac{\partial^2 \theta_x^*}{\partial t^2} \bar{I}_3 \end{aligned} \quad (11)$$

$$\begin{aligned} \frac{\partial M_x}{\partial x} + \frac{1}{R} \frac{\partial M_{\varphi x}}{\partial \varphi} - Q_x = \frac{\partial^2 u_0}{\partial t^2} \bar{I}_1 + \frac{\partial^2 \theta_x}{\partial t^2} \bar{I}_2 \\ + \frac{\partial^2 u_0^*}{\partial t^2} \bar{I}_3 + \frac{\partial^2 \theta_x^*}{\partial t^2} \bar{I}_4 \end{aligned} \quad (12)$$

$$\begin{aligned} \frac{1}{R} \frac{\partial M_\varphi}{\partial \varphi} + \frac{\partial M_{x\varphi}}{\partial x} + \frac{1}{R} S_\varphi = \bar{I}_1 \frac{\partial^2 v_0}{\partial t^2} + \frac{\partial^2 \theta_\varphi}{\partial t^2} \bar{I}_2 \\ + \frac{\partial^2 v_0^*}{\partial t^2} \bar{I}_3 + \frac{\partial^2 \theta_\varphi^*}{\partial t^2} \bar{I}_4 \end{aligned} \quad (13)$$

$$\begin{aligned} -\frac{1}{R} M_\varphi - N_z + \frac{\partial S_x}{\partial x} + \frac{1}{R} \frac{\partial S_\varphi}{\partial \varphi} = \frac{\partial^2 w_0}{\partial t^2} \bar{I}_1 \\ + \frac{\partial^2 \theta_z}{\partial t^2} \bar{I}_2 + \frac{\partial^2 w_0^*}{\partial t^2} \bar{I}_3 + \frac{\partial^2 \theta_z^*}{\partial t^2} \bar{I}_4 \end{aligned} \quad (14)$$

$$\begin{aligned} \frac{\partial N_x^*}{\partial x} + \frac{1}{R} \frac{\partial N_{\varphi x}^*}{\partial \varphi} - 2S_x - \frac{1}{2R^2} \frac{\partial M_{\varphi x}^*}{\partial \varphi} = \frac{\partial^2 u_0}{\partial t^2} \bar{I}_2 \\ + \frac{\partial^2 \theta_x}{\partial t^2} \bar{I}_3 + \frac{\partial^2 u_0^*}{\partial t^2} \bar{I}_4 + \frac{\partial^2 \theta_x^*}{\partial t^2} \bar{I}_5 \end{aligned} \quad (15)$$

$$\frac{1}{R} \frac{\partial N_\varphi^*}{\partial \varphi} + \frac{\partial N_{x\varphi}^*}{\partial x} + \frac{1}{R} Q_\varphi^* + \frac{1}{2R} \frac{\partial M_{x\varphi}^*}{\partial x} = \frac{\partial^2 v_0}{\partial t^2} \bar{I}_2$$

تئوری‌ها در حالت کلی، می‌توان مولفه‌های میدان جابجایی را نسبت به مختصات در جهت ضخامت تا هر درجه‌ای بسط داد اما به دلیل پیچیده شدن محاسبات بیشتر از درجه سه توصیه نمی‌شود. دلیل بسط دادن جابجایی‌ها تا ترم‌های درجه سوم از مختصه ضخامت، به دست آوردن تغییرات درجه دوم از کرنش‌های برشی عرضی و تنش‌های برشی عرضی در هر لایه می‌باشد، که خود باعث عدم نیاز به ضرایب تصحیح برشی می‌شوند. پوسته FML مطابق "شکل 1" با ضخامت h ، شاعر متوسط R ، دانسیته جرمی ρ و طول L در نظر گرفته شده است. محور مختصات استوانه‌ای در سطح مرجع (سطح میانی) پوسته قرار گرفته است. جابجایی پوسته در سه جهت طولی، محیطی و شعاعی به ترتیب با u ، v و w نمادگذاری می‌شوند. میدان جابجایی (u, v, w) با توابعی تا درجه سوم از مختصه ضخامت بیان می‌شود. تنها فرض برای جابجایی‌ها، ناچیز بودن خیز پوسته و استفاده از مولفه‌های کرنش بی‌نهایت کوچک می‌باشد. میزان جابجایی هر نقطه از پوسته به صورت روابط (4) با میزان جابجایی سطح مرجع ارتباط دارد و از بسط سری تیلور برای توسعه یک فرمولاسیون دو بعدی از یک مسئله الاستیسیتی سه بعدی استفاده گردیده است.

$$u(x, \varphi, z, t) = u_0(x, \varphi, t) + z \theta_x(x, \varphi, t) + z^2 u_0^*(x, \varphi, t) + z^3 \theta_x^*(x, \varphi, t)$$

$$v(x, \varphi, z, t) = v_0(x, \varphi, t) + z \theta_\varphi(x, \varphi, t) + z^2 v_0^*(x, \varphi, t) + z^3 \theta_\varphi^*(x, \varphi, t)$$

$$w(x, \varphi, z, t) = w_0(x, \varphi, t) + z \theta_z(x, \varphi, t) + z^2 w_0^*(x, \varphi, t) + z^3 \theta_z^*(x, \varphi, t) \quad (4)$$

در روابط (4)، عبارت‌های u ، v ، w ، جابجایی‌های یک نقطه داخلخواه (x, φ, z) در فضای چندلایه و به ترتیب در جهات x ، φ و z هستند و t زمان است. پارامترهای u_0 و v_0 جابجایی‌های درون صفحه و w_0 جابجایی خارج از صفحه یک نقطه داخلخواه (x, φ) بر روی سطح میانی چند لایه است. توابع θ_x و θ_φ چرخش‌های خط عمود بر سطح میانی پوسته حول محورهای به ترتیب φ و x هستند. پارامترهای θ_z ، w_0^* ، v_0^* ، u_0^* و θ_φ^* عبارت‌های مرتبه بالا در بسط تیلور می‌باشند و نماینده مودهای تغییر شکل عرضی مقطع پوسته هستند.

با تعریف کرنش‌ها از تئوری الاستیسیتی خطی، روابط کرنش جابجایی عمومی در دستگاه مختصات استوانه‌ای به صورت روابط (5) می‌باشد [8]:

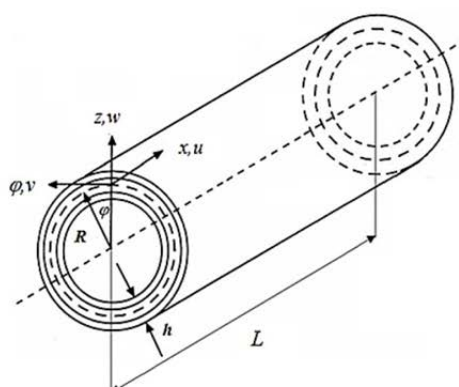


Fig. 1 هندسه پوسته استوانه‌ای و سیستم مختصات مرجع

$$\varepsilon_x = \frac{\partial u}{\partial x}, \quad \varepsilon_\varphi = \frac{1}{R} \left(\frac{\partial v}{\partial \varphi} + w \right)$$

باید توابع مناسب برای مؤلفه‌های جابجایی پوسته استوآن‌های که شرایط مرزی هندسی و نیرویی پوسته را ارضاء می‌کنند ارائه گردند. این مؤلفه‌ها در روابط (25) ارائه گردیده‌اند.

$$\begin{bmatrix} u_0(x,y) \\ v_0(x,y) \\ w_0(x,y) \\ \theta_x \\ \theta_\varphi \\ \theta_z \\ u_0^* \\ v_0^* \\ w_0^* \\ \theta_x^* \\ \theta_\varphi^* \\ \theta_z^* \end{bmatrix} = \sum_{n=1}^{\infty} \sum_{m=1}^{\infty} \begin{bmatrix} u_{0mn} \cos(\lambda x) \cos(n\varphi) T_{mn}(t) \\ v_{0mn} \sin(\lambda x) \sin(n\varphi) T_{mn}(t) \\ w_{0mn} \sin(\lambda x) \cos(n\varphi) T_{mn}(t) \\ \theta_{xmn} \cos(\lambda x) \cos(n\varphi) T_{mn}(t) \\ \theta_{\varphi mn} \sin(\lambda x) \sin(n\varphi) T_{mn}(t) \\ \theta_{zmn} \sin(\lambda x) \cos(n\varphi) T_{mn}(t) \\ u_{0mn}^* \cos(\lambda x) \cos(n\varphi) T_{mn}(t) \\ v_{0mn}^* \sin(\lambda x) \sin(n\varphi) T_{mn}(t) \\ w_{0mn}^* \sin(\lambda x) \cos(n\varphi) T_{mn}(t) \\ \theta_{xmn}^* \cos(\lambda x) \cos(n\varphi) T_{mn}(t) \\ \theta_{\varphi mn}^* \sin(\lambda x) \sin(n\varphi) T_{mn}(t) \\ \theta_{zmn}^* \sin(\lambda x) \cos(n\varphi) T_{mn}(t) \end{bmatrix} \quad (25)$$

در روابط (25)، $\lambda = m\pi/L$ ، u_{0mn} ، v_{0mn} ، w_{0mn} ، θ_{xmn} ، $\theta_{\varphi mn}$ ، θ_{zmn} ، u_0^* ، v_0^* ، w_0^* ، θ_x^* ، θ_φ^* ، θ_z^* نیز ثوابت شکل مودهای طبیعی هستند. در تحلیل ارتعاشات آزاد $T_{mn}(t) = e^{i\omega_{mn}t}$ در نظر گرفته شده است که ω_{mn} فرکانس طبیعی (rad/sec) مربوط به مود شماره (m,n) است که عبارت است از شماره موج طولی و n شماره موج محیطی است.

پس از تعیین معادلات تعادل پوسته، جهت استخراج عملگرهای دیفرانسیلی ابتدا باید از روابط کرنش-جابجایی تعریف شده در روابط (5)، مقادیر کرنش را در رابطه منتجه‌های تنش یعنی روابط (22) و (23) جایگذاری کرده، سپس روابط حاصله را در معادلات تعادل پوسته، یعنی روابط (9) تا (20)، جایگذاری نمود. پس از جداسازی مشتقات مربوط به هریک از مؤلفه‌های جابجایی و مرتباًسازی، در نهایت عملگرهای دیفرانسیلی نهایی به دست می‌آیند و با جایگذاری روابط (25) در عملگرهای دیفرانسیلی، ماتریس‌های جرم و سختی پوسته استخراج می‌گردد. سپس برای یافتن فرکانس‌های طبیعی پوسته باید معادله (26) حل گردد.

$$(K - \{M\}\omega^2)\{X\} = \{0\} \quad (26)$$

همان‌طور که در رابطه (26) ملاحظه می‌شود مساله ارتعاشات آزاد پوسته تبدیل به یک مساله مقادیر ویژه استاندارد گردیده است. در رابطه (26)، $\{X\}$ بردار جابجایی، K ماتریس سفتی و M ماتریس جرم می‌باشد که با حل معادله مقادیر ویژه، فرکانس‌های طبیعی سازه استخراج می‌گردد. ترم‌های بردار جابجایی پوسته نیز در رابطه (27) نشان داده شده است.

$$\{X\} = \left\{ u_{0mn}, v_{0mn}, w_{0mn}, \theta_{xmn}, \theta_{\varphi mn}, \theta_{zmn} \right\}, \left\{ u_0^*, v_0^*, w_0^*, \theta_x^*, \theta_\varphi^*, \theta_z^* \right\} \quad (27)$$

5- صحنه‌سنجی نتایج

به منظور بررسی صحت نتایج به دست آمده از این تحقیق، نتایج حاصله با نتایج سایر محققین و همچنین نرم‌افزار آباکوس مقایسه گردیده‌اند. در ابتدا نتایج به دست آمده از این تحلیل برای یک پوسته ارتوتروپ با نتایج مرجع [1] مقایسه گردیده است. به این منظور فرکانس‌های طبیعی یک پوسته دو لایه ارتوتروپیک استوآن‌های با لایه‌چینی (0,90) و با شرایط مرزی دو سر لولا و خصوصیات فیزیکی و مکانیکی آورده شده در روابط (28) مورد بررسی قرار گرفته و نتایج حاصله در جدول 1 آورده شده است.

$$E_{11}/E_{22} = 2.5, E_{22} = 7.61 \text{ GN/m}^2, G_{12} = 4.1 \text{ GN/m}^2, h/R = 0.01, L_x/R = 1$$

$$+ \frac{\partial^2 \theta_\varphi}{\partial t^2} \bar{I}_3 + \frac{\partial^2 v_0^*}{\partial t^2} \bar{I}_4 + \frac{\partial^2 \theta_\varphi^*}{\partial t^2} \bar{I}_5 \quad (16)$$

$$- \frac{1}{R} N_\varphi^* - 2 M_z + \frac{\partial Q_x^*}{\partial x} + \frac{1}{R} \frac{\partial Q_\varphi^*}{\partial \varphi} = \frac{\partial^2 w_0}{\partial t^2} \bar{I}_2 + \frac{\partial^2 \theta_z}{\partial t^2} \bar{I}_3 + \frac{\partial^2 w_0^*}{\partial t^2} \bar{I}_4 + \frac{\partial^2 \theta_z^*}{\partial t^2} \bar{I}_5 \quad (17)$$

$$\frac{\partial M_x^*}{\partial x} + \frac{1}{R} \frac{\partial M_{\varphi x}^*}{\partial \varphi} - 3 Q_x^* = \frac{\partial^2 u_0}{\partial t^2} \bar{I}_3 + \frac{\partial^2 \theta_x}{\partial t^2} \bar{I}_4 + \frac{\partial^2 u_0^*}{\partial t^2} \bar{I}_5 + \frac{\partial^2 \theta_x^*}{\partial t^2} \bar{I}_6 \quad (18)$$

$$\frac{1}{R} \frac{\partial M_\varphi^*}{\partial \varphi} + \frac{\partial M_{x\varphi}^*}{\partial x} + \frac{1}{R} S_\varphi^* - 3 R_\varphi^* = \frac{\partial^2 v_0}{\partial t^2} \bar{I}_3 + \frac{\partial^2 \theta_\varphi}{\partial t^2} \bar{I}_4 + \frac{\partial^2 v_0^*}{\partial t^2} \bar{I}_5 + \frac{\partial^2 \theta_\varphi^*}{\partial t^2} \bar{I}_6 \quad (19)$$

$$- \frac{1}{R} M_\varphi^* - 3 N_z^* + \frac{\partial S_x^*}{\partial x} + \frac{1}{R} \frac{\partial S_\varphi^*}{\partial \varphi} = \frac{\partial^2 w_0}{\partial t^2} \bar{I}_3 + \frac{\partial^2 \theta_z}{\partial t^2} \bar{I}_4 + \frac{\partial^2 w_0^*}{\partial t^2} \bar{I}_5 + \frac{\partial^2 \theta_z^*}{\partial t^2} \bar{I}_6 \quad (20)$$

در روابط (9) تا (20)، اینسی‌های جرمی به صورت رابطه (21) تعریف می‌شوند:

$$I_i = \sum_{k=1}^{Z_{k+1}} \int_{z_k}^{z_{k+1}} \rho_{(k)(Z)}^i dz \quad (i=0,1,2,\dots,6) \quad (21)$$

در رابطه (21)، ρ_k عبارت است از چگالی لایه k -ام. معادلات (9) تا (20) شامل منتجه‌های تنش می‌باشند که به صورت روابط (22) تعریف می‌شوند:

$$\begin{bmatrix} N_x & M_x & N_x^* & M_x^* \\ N_{x\varphi} & M_{x\varphi} & N_{x\varphi}^* & M_{x\varphi}^* \\ Q_x & S_x & Q_x^* & S_x^* \\ N_z & M_z & N_z^* & - \end{bmatrix} = \sum_{i=1}^{NL} \int_{z_i}^{z_{i+1}} \begin{Bmatrix} \sigma_x \\ \sigma_{x\varphi} \\ \sigma_{xz} \\ \sigma_z \end{Bmatrix} (1, z, z^2, z^3) dz$$

$$\begin{bmatrix} N_\varphi & M_\varphi & N_\varphi^* & M_\varphi^* \\ N_{\varphi x} & M_{\varphi x} & N_{\varphi x}^* & M_{\varphi x}^* \\ Q_\varphi & S_\varphi & Q_\varphi^* & S_\varphi^* \end{bmatrix} = \sum_{i=1}^{NL} \int_{z_i}^{z_{i+1}} \begin{Bmatrix} \sigma_\varphi \\ \sigma_{\varphi x} \\ \sigma_{\varphi z} \end{Bmatrix} (1, z, z^2, z^3) dz \quad (22)$$

در رابطه (22)، ارتفاع لایه Z ارتفاع لایه موردنظر از لایه میانی، L شماره لایه موردنظر و N تعداد لایه‌های پوسته می‌باشند. همچنین تنش‌ها به صورت روابط (23)، برحسب کرنش‌ها تعریف می‌شوند:

$$\begin{Bmatrix} \sigma_x^s \\ \sigma_\varphi^s \\ \sigma_z^s \\ \tau_{x\varphi}^s \\ \tau_{xz}^s \\ \tau_{\varphi z}^s \end{Bmatrix}^L = \begin{bmatrix} Q_{11} & Q_{12} & Q_{13} & 0 & 0 & 0 \\ Q_{12} & Q_{22} & Q_{23} & 0 & 0 & 0 \\ Q_{13} & Q_{23} & Q_{33} & 0 & 0 & 0 \\ 0 & 0 & 0 & Q_{44} & 0 & 0 \\ 0 & 0 & 0 & 0 & Q_{55} & 0 \\ 0 & 0 & 0 & 0 & 0 & Q_{66} \end{bmatrix}^L \begin{Bmatrix} \varepsilon_x^s \\ \varepsilon_\varphi^s \\ \varepsilon_z^s \\ \gamma_{x\varphi}^s \\ \gamma_{xz}^s \\ \gamma_{\varphi z}^s \end{Bmatrix} \quad (23)$$

در رابطه (23)، x و φ و z محورهای لمینیت، در دستگاه مختصات منحني‌الخط می‌باشند. ماتریس Q شامل ضرایبی به عنوان ثوابت کاهش یافته الاستیک لایه شماره L ماده ارتوتروپیک می‌باشد که این ثوابت در پیوست مقاله، ارائه گردیده‌اند.

4- تحلیل ارتعاشات آزاد

شرايط مرزی در نظر گرفته شده در این پژوهش به صورت دو سر لولا می‌باشد که با استفاده از روابط (24) تعریف می‌شوند:

$$v_0 = w_0 = \theta_\varphi = \theta_z = 0 \\ v_0^* = w_0^* = \theta_\varphi^* = \theta_z^* = 0 \\ N_x = M_x = N_x^* = M_x^* = 0 \quad (24)$$

برای حل معادلات تعادل که در روابط (9) تا (20)، ارائه گردیدند ابتدا

قرارگیری فیبرهای تقویت کننده تک لایه‌های تشکیل دهنده لایه‌های کامپوزیتی پوسته FML. هر یک از لایه‌های کامپوزیتی پوسته‌های FML مورد بررسی در این پژوهش خود از چهار تک لایه به هم جسبیده تشکیل گردیده‌اند به‌گونه‌ای که فیبرهای تقویت کننده هر یک از این تک لایه‌ها امکان قرارگیری با زوایای 60,30,0 و 90 درجه را دارا می‌باشد. همچنین زاویه قرارگیری فیبرهای تقویت کننده تک لایه‌ها در تمامی لایه‌های کامپوزیتی یکسان است به این معنی که بهطور مثال در یک پوسته FML که دارای 4 لایه فلزی و سه لایه کامپوزیتی می‌باشد و هر لایه کامپوزیتی خود از چهار تک لایه تشکیل شده است، اگر زوایای قرارگیری فیبرهای تقویت کننده تک لایه‌های تشکیل دهنده یک لایه کامپوزیتی به صورت 90/90/30/30 باشد زوایای قرارگیری فیبرهای تقویت کننده تک لایه‌های تشکیل دهنده دو لایه کامپوزیتی دیگر نیز به همین صورت 90/90/30/30 می‌باشد و ساختار پوسته مذکور بهطور اختصار به صورت [AL/GE-4-3-[30/30/90/90] نامگذاری می‌گردد که AL مخفف لایه آلومینیوم و GE مخفف لایه شیشه/اپوکسی است. در این نامگذاری عدد 4 نشان‌دهنده تعداد لایه‌های آلومینیومی و عدد 3 نشان‌دهنده تعداد لایه‌های کامپوزیتی می‌باشد. اعداد داخل کروشه نیز نشان‌دهنده جهت‌گیری فیبرهای تقویت کننده چهار تک لایه تشکیل دهنده هر یک از لایه‌های کامپوزیتی می‌باشند.

7- بررسی سیکل طراحی ارائه شده

به منظور بررسی سیکل طراحی ارائه شده در این پژوهش یک پوسته FML نه لایه که از پنج لایه آلومینیوم و چهار لایه شیشه-اپوکسی تشکیل شده مورد بررسی قرار گرفته است. هر یک از فیبرهای تقویت کننده لایه‌های کامپوزیتی امکان قرارگیری با زوایای 60,30,0 و 90 درجه را دارا می‌باشد. در "شکل 2" شماتیک قرارگیری لایه‌های فلز و کامپوزیت پوسته FML مورد بررسی نسبت به یکدیگر نشان داده شده است. حال مناسب‌ترین زاویه قرارگیری برای فیبرهای تقویت کننده لایه‌های کامپوزیتی پوسته مذکور به گونه‌ای تعیین گردیده که پوسته دارای بیشترین استحکام ممکن گردد. مقدار ضریب K که نشان‌دهنده میزان استحکام پوسته با توجه به زاویه قرارگیری لایه‌های کامپوزیتی آن می‌باشد برای برخی از وضعیت‌های قرارگیری زوایای فیبرهای تقویت کننده لایه‌های کامپوزیتی در جدول 5 ارائه گردیده است.

جدول 4 خواص آلومینیوم و شیشه‌اپوکسی مورد استفاده در پوسته FML

Table 4 Aluminum and glass/epoxy properties used for FML shells

ماده	چگالی kg/m ³	ضرایب پواسون	مدول‌های برشی (GPa)	مدول‌های برشی (GPa)
آلومینیوم	7475	$v_{12} = 0.3$	$E_{11} = 70$	$E_{11} = 27.8$
آلومینیوم	2024	$v_{13} = 0.3$	$E_{22} = 70$	$E_{22} = 27.8$
شیشه	7475	$v_{23} = 0.3$	$E_{33} = 70$	$E_{33} = 27.8$
اپوکسی	2500	$\rho = 2500$	$E_{11} = 50$	$E_{11} = 4.7$
شیشه	2024	$v_{13} = 0.25$	$E_{22} = 15.2$	$E_{22} = 4.7$
اپوکسی	7475	$v_{23} = 0.25$	$E_{33} = 15.2$	$E_{33} = 3.28$

$$\theta_{12} = 0.26 \quad (28)$$

به این منظور از فاکتور بی بعد $\omega^* = \omega h / \pi \sqrt{\rho/G_{12}}$ برای بی بعد سازی فرکانس‌های حاصله استفاده شده است.

برای بررسی صحت پاسخ‌های تئوری حاضر برای پوسته‌هایی با درجه پیچیدگی بالاتر، یک پوسته FML که دارای پنج لایه آلومینیوم و چهار لایه پلیمری تقویت شده با لایاف شیشه با لایه‌چینی (0,90) است مورد بررسی قرار گرفته است. خواص مواد به کار رفته در پوسته FML مورد بررسی در جدول 2 ارائه گردیده است.

همان‌طور که در جدول 3 آورده شده است، کوچکترین فرکانس طبیعی پوسته FML با لایه‌چینی [0,90] با استفاده از تئوری حاضر، تئوری برشی مرتبه اول و همچنین با مقادیر به دست آمده به کمک نرم‌افزار آباکوس مقایسه گردیده است که مطابقت قابل قبول نتایج، نشان‌دهنده صحت محاسبات انجام شده می‌باشد.

6- نتایج تحلیل‌های انجام شده

پوسته مورد تحلیل در این پژوهش یک پوسته FML متتشکل از لایه‌هایی از جنس‌های آلومینیوم و شیشه‌اپوکسی می‌باشد. خواص این مواد در جدول 4 آورده شده است. همچنین در این مقاله به منظور رعایت اختصار از اصطلاحات لایه‌چینی و زاویه‌چینی استفاده گردیده است. منظور از لایه‌چینی عبارت

جدول 1 مقایسه فرکانس‌های بی بعد شده پوسته دو لایه ارتوتروپیک با نتایج مرجع [1]

Table 1 Comparison of the non-dimensional natural frequency of two layers orthotropic shell with [1] reference

مرجع [1]	روش حاضر	شماره مد
2.106	1.9825	1
1.344	1.2136	2
0.9586	0.9315	3
0.7492	0.7148	4
0.6419	0.6258	5

جدول 2 خواص مواد مورد استفاده در پوسته FML جهت صحنه‌سنجی

ρ (kg/m ³)	G_{12} (GPa)	G_{23} (GPa)	ν_{12}	E_{22} (GPa)	E_{11} (GPa)	ماده
2100	3.4	3.4	0.3	13	60	GRP
2770	28	28	0.33	72.4	72.4	AL 2024

جدول 3 مقایسه فرکانس‌های بی بعد شده پوسته FML با لایه‌چینی AL/GE-5-4-0,90 با نتایج آباکوس

Table 3 Comparison of the non-dimensional natural frequency of AL/GE-5-4-[0,90] FML shell with ABAQUS

نرم‌افزار آباکوس	تئوری برشی مرتبه اول	تئوری برشی بهبود یافته	h/r
0.006	0.0066	0.0062	0.01
0.0255	0.0267	0.0259	0.04
0.0628	0.0636	0.0631	0.1
0.129	0.137	0.132	0.2
0.695	0.706	0.699	1

است از نحوه و ترتیب قرارگیری لایه‌های فلزی و کامپوزیتی تشکیل دهنده پوسته FML نسبت به یکدیگر و منظور از زاویه‌چینی عبارت است از زوایای

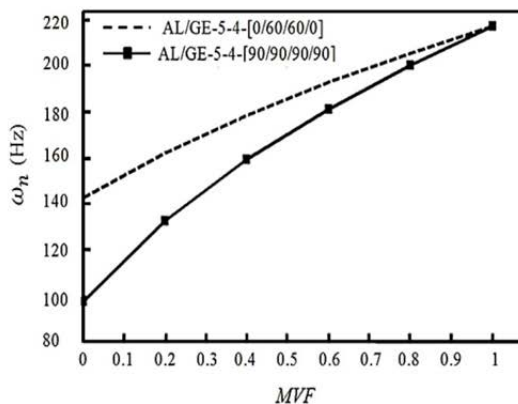
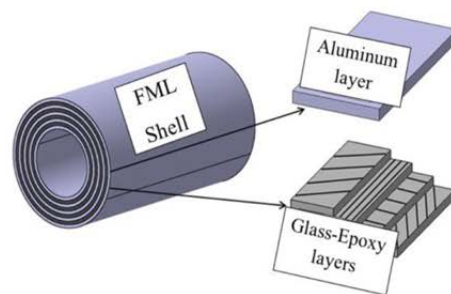


Fig. 3 The effect of best and worst layer orientation on the natural frequency vs. MVF for AL/GE-5-4 FML shell
شکل 3 تاثیرات زاویه‌چینی مطلوب و نامطلوب الیاف بر فرکانس طبیعی بر حسب مقادیر مختلف MVF برای پوسته FML با ساختار AL/GE-5-4

کمترین میزان استحکام برای پوسته FML با لایه‌چینی AL/GE-5-4 می‌گردد. در این بخش این موضوع با انجام تحلیل ارتعاشی نیز اثبات گردیده است. همان‌طور که در "شکل 3" نیز مشخص است با بهینه نمودن زاویه‌چینی فیبرهای تقویت‌کننده لایه‌های کامپوزیتی بهبود قابل ملاحظه‌ای در میزان فرکانس طبیعی پوسته اتفاق می‌افتد. همچنین با افزایش مقدار MVF فرکانس طبیعی هر دو ساختار مورد بررسی افزایش می‌یابد به طوری که در حالت $MVF=1$ فرکانس طبیعی هر دو ساختار به یک مقدار میل می‌کند که این امر با توجه به این که $MVF=1$ به معنی فلز بدون الیاف می‌باشد امری بدینه است که صحت نمودار را نیز نشان می‌دهد. در حالت $MVF=0$ یعنی حالتی که تنها لایه‌های کامپوزیتی وجود داشته باشند به طور محسوسی تاثیر زاویه‌چینی بهینه فیبرهای تقویت‌کننده لایه‌های کامپوزیتی بر فرکانس طبیعی نمایان می‌گردد. همان‌گونه که مشاهده می‌شود در $MVF=0$ فرکانس طبیعی ساختار AL/GE-5-4-[0/60/60/0] به طور قابل توجهی بیش از ساختار AL/GE-5-4-[90/90/90/90] می‌باشد و هر چه کسر حجمی فلز افزایش می‌یابد اختلاف فرکانس طبیعی دو ساختار مذکور کمتر می‌گردد به گونه‌ای که با افزایش مقدار MVF به بیش از 0.8 اختلاف بین فرکانس طبیعی دو پوسته FML مذکور از فلز تشکیل می‌شود و درصد حجمی بیشتری از پوسته‌های FML مذکور از فلز تشكیل می‌شود و تاثیر لایه‌های کامپوزیتی بر فرکانس طبیعی آن‌ها کاهش می‌یابد.

9- بررسی اثر تغییر ضخامت پوسته بر فرکانس طبیعی ساختارهای طراحی شده

در "شکل 4" تاثیر تغییر ضخامت بر روی فرکانس طبیعی دو ساختار AL/GE-5-4-[0/60/60/0] و AL/GE-5-4-[90/90/90/90] که طبق طراحی انجام شده به ترتیب منجر به بیشترین و کمترین میزان استحکام برای پوسته FML با لایه‌چینی AL/GE-5-4 می‌گردد رسم شده است. همان‌طور که در "شکل 4" نشان داده شده است با افزایش ضخامت پوسته‌های FML مورد اشاره مقدار فرکانس طبیعی برای هر دو ساختار افزایش می‌یابد. همچنین برای تمامی ضخامت‌ها میزان فرکانس طبیعی ساختار AL/GE-5-4-[0/60/60/0] بیش از ساختار AL/GE-5-4-[90/90/90/90] می‌باشد که دلیل این امر نیز زاویه مطلوب قرارگیری فیبرهای تقویت‌کننده لایه‌های کامپوزیتی ساختار AL/GE-5-4-[0/60/60/0] در بخش هفتم مقاله مشخص گردید که زاویه‌چینی 0/60 درجه منجر به بیشترین استحکام و زاویه‌چینی 90 درجه منجر به



شکل 2 شماتیک قرارگیری لایه‌های فلز و کامپوزیت پوسته FML مورد بررسی

جدول 5 مقادیر محاسبه شده برای ضربه K جهت تعیین زاویه‌چینی مطلوب و نامطلوب پوسته FML

Table 5 Amount of K coefficient for determination of the best & worst FML shell layer orientation

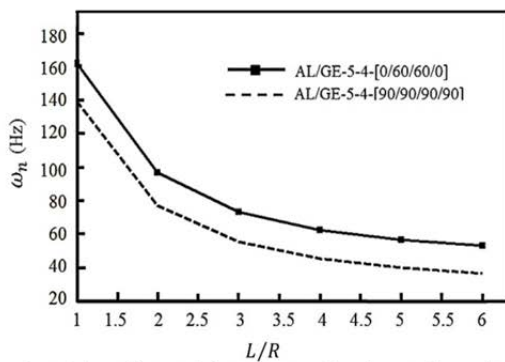
زاویه قرارگیری فیبرهای تقویت‌کننده لایه‌ای کامپوزیتی	ضربه K لایه‌های کامپوزیتی	زاویه قرارگیری فیبرهای تقویت‌کننده لایه‌ای کامپوزیتی	ضربه K لایه‌های کامپوزیتی
0/0/0/0	0.4692	30/0/90/90	0.7582
90/90/90/90	0.8532	60/60/90/90	0.4967
60/60/60/60	0.5236	30/30/90/90	0.6986
0/60/60/30	0.4157	30/90/0/0	0.7845
0/90/90/0	0.7365	30/30/0/0	0.7412
60/90/3/0	0.6324	60/60/0/0	0.4124
0/60/60/0	0.3610	30/90/30/90	0.6894
30/30/30/30	0.5876	60/90/90/90	0.5486
0/30/30/0	0.4365	30/60/30/60	0.6924
60/60/60/30	0.4968	0/60/60/60	0.4783
60/0/0/60	0.3984	30/60/60/30	0.5012
30/30/60/60	0.4319	90/60/60/90	0.6258
90/90/0/0	0.5896	60/90/90/30	0.7419
60/30/30/30	0.6328	60/0/0/90	0.5918
30/60/30/30	0.6529	90/0/0/90	0.6173

همان‌طور که در جدول 5 نشان داده شده است در صورت قرارگیری فیبرهای تقویت‌کننده لایه‌های کامپوزیتی با زاویه 0/60/60/0 پوسته دارای کمترین ضربه K و در صورت قرارگیری با زاویه 90/90/90/90 پوسته دارای بیشترین ضربه K می‌گردد. در نتیجه با توجه به نتایج حاصله زاویه‌چینی 0/60/60/0 منجر به بیشترین استحکام و زاویه چینی 90/90/90/90 منجر به کمترین میزان استحکام برای پوسته FML با لایه‌چینی AL/GE-5-4 می‌گردد. حال با تعیین بهترین و بدترین وضعیت‌های قرارگیری زاویه‌چینی فیبرهای تقویت‌کننده برای پوسته موردنظر بررسی، هر یک از این ساختارها موردنظر تحلیل فرکانسی قرار می‌گیرند تا علاوه بر تعیین تاثیر طراحی انجام شده بر رفتار فرکانسی پوسته صحت طراحی انجام شده نیز اثبات گردد.

8- بررسی تاثیر زاویه‌چینی فیبرهای تقویت‌کننده لایه‌های کامپوزیتی بر میزان فرکانس طبیعی پوسته

در "شکل 3" تغییرات فرکانس طبیعی بر حسب مقادیر مختلف MVF برای دو ساختار AL/GE-5-4-[0/60/60/0] و AL/GE-5-4-[90/90/90/90] رسم گردیده است. کسر حجمی فلز و کامپوزیت از مقدار $MVF=0$ معنی کامپوزیت بدون فلز است تا $MVF=1$ که به معنی فلز تنها است تغییر می‌نماید.

در بخش هفتم مقاله مشخص گردید که زاویه‌چینی 0/60 درجه منجر به بیشترین استحکام و زاویه‌چینی 90 درجه منجر به



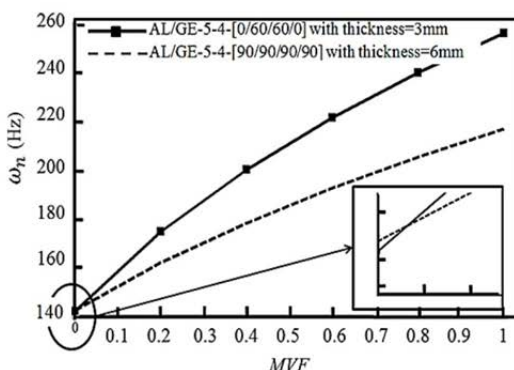
شکل 6 تغییرات فرکانس طبیعی برحسب نسبت طول به شاعع برای بهترین و بدترین زاویه‌چینی پوسته FML با ساختار 4 AL/GE-5-4

طبیعی برای هر دو ساختار AL/GE-5-4-[0/60/60/0] و AL/GE-5-4-[90/90/90/90] کاهش خواهد یافت.

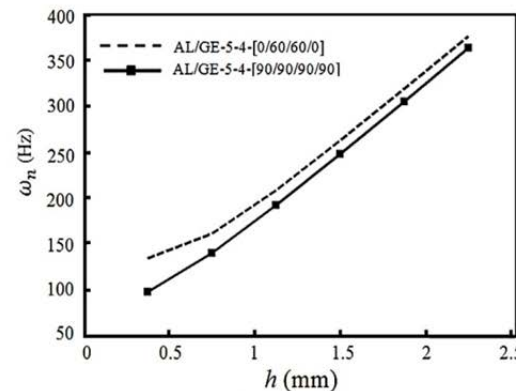
11- مقایسه میزان اثرگذاری تغییر ضخامت و تغییر زاویه‌چینی فیبرهای تقویت کننده لایه‌های کامپوزیتی بر فرکانس طبیعی پوسته FML

در این بخش جهت تعیین اثر بخش تر بودن تغییر ضخامت پوسته و یا تغییر زاویه‌چینی فیبرهای تقویت کننده لایه‌های کامپوزیتی بر میزان فرکانس طبیعی پوسته‌های FML تغییرات فرکانس طبیعی برحسب کسر حجمی مواد تشکیل دهنده برای دو ساختار 4 AL/GE-5-4-[0/60/60/0] با ضخامت 3 میلی‌متر و ساختار 4 AL/GE-5-4-[90/90/90/90] با ضخامت 6 میلی‌متر در شکل 7 با یکدیگر مقایسه گردیده‌اند.

همان‌طور که در "شکل 7" مشاهده می‌شود با نزدیک شدن کسر حجمی مواد تشکیل دهنده به صفر میزان فرکانس طبیعی دو ساختار مورد بررسی به یکدیگر نزدیک می‌شوند به گونه‌ای که برای کسر حجمی نزدیک صفر میزان فرکانس طبیعی ساختار 4 AL/GE-5-4-[90/90/90/90] 90 درجه می‌باشد کمتر از 6 میلی‌متر که دارای زاویه‌چینی نامطلوب 90/90/90/90 درجه می‌باشد کمتر از میزان فرکانس طبیعی ساختار 4 AL/GE-5-4-[0/60/60/0] AL/GE-5-4-[0/60/60/0] می‌باشد که دارای ضخامت 3 میلی‌متر و زاویه‌چینی مطلوب 0/60/0 درجه می‌باشد.



شکل 7 مقایسه میزان اثرگذاری تغییر زاویه‌چینی لایه‌های کامپوزیتی با تغییر ضخامت پوسته بر میزان فرکانس طبیعی پوسته‌های FML با ساختار 4



شکل 4 تغییر فرکانس طبیعی برحسب تغییر ضخامت برای بهترین و بدترین زاویه‌چینی پوسته FML با ساختار 4

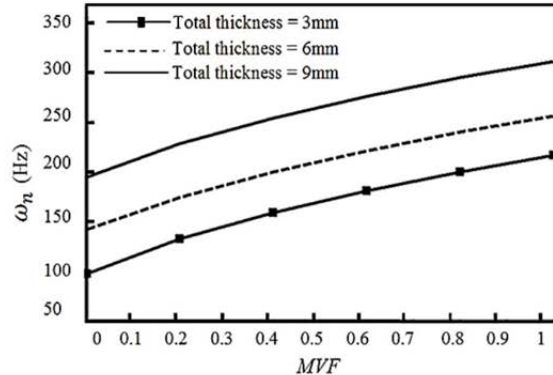
می‌باشد که منجر به ایجاد استحکام بالاتری برای این ساختار نسبت به ساختار 4 AL/GE-5-4-[90/90/90/90] گردیده است. در "شکل 5" نیز تغییر فرکانس طبیعی برحسب کسر حجمی مواد تشکیل دهنده برای سه ضخامت مختلف پوسته FML با ساختار 4 AL/GE-5-4-[90/90/90/90] نشان داده شده است.

همان‌طور که در "شکل 5" مشاهده می‌شود با افزایش ضخامت پوسته، به ازاء مقداری مختلف MVF فرکانس‌های طبیعی افزایش می‌یابند و در ثابت، با افزایش نسبت ضخامت به اندازه سه برابر، حداقل فرکانس طبیعی حدود دو برابر افزایش یافته است.

10- بررسی اثر تغییر نسبت طول به شاعع پوسته بر فرکانس طبیعی ساختارهای طراحی شده

در "شکل 6" تأثیر تغییر نسبت طول به شاعع بر روی فرکانس طبیعی برای دو ساختار 4 AL/GE-5-4-[0/60/60/0] و 4 AL/GE-5-4-[90/90/90/90] مورد بررسی قرار گرفته است.

همان‌طور که در "شکل 6" نشان داده شده است برای تمامی نسبت‌های طول به شاعع پوسته، میزان فرکانس طبیعی ساختار 4 AL/GE-5-4-[90/90/90/90] می‌باشد و با افزایش نسبت طول به شاعع پوسته‌های استوانهای مورد بررسی فرکانس



شکل 5 تغییرات فرکانس طبیعی برحسب کسر حجمی برای ضخامت‌های مختلف پوسته FML با ساختار 4 AL/GE-5-4-[90/90/90/90]

[90/90/90/90] می‌باشد که دارای زاویه‌چینی نامطلوب می‌باشند. نکته حائز اهمیت در این‌باره بیشتر بودن فرکانس طبیعی ساختار AL2024/ GE-5-4-[0/60/60/0] AL7475/GE-5-4-[0/60/60/0] نسبت به ساختار [90/90/90/90] می‌باشد. زیرا با وجود این که آلومنیوم 2024 دارای سختی بالاتری نسبت به آلومنیوم 7475 می‌باشد اما برای کسر حجمی کمتر از 0.8 میزان فرکانس طبیعی ساختار [90/90/90/90] می‌باشد که در آن AL7475/GE-5-4-[0/60/60/0] کمتر از 0.6 درجه به 90/90/90/90 درجه به 0/60/60/0 می‌باشد. زیرا با وجود این که در آن از آلومنیوم 2024 استفاده شده است که این امر نشان‌دهنده این مطلب است که برای کسر حجمی کمتر از 0.8 میزان اثرگذاری زاویه‌چینی فیبرهای تقویت کننده لایه‌های کامپوزیتی بر فرکانس طبیعی پوسته بیش از میزان اثرگذاری جنس لایه‌های فلزی می‌باشد.

اما برای کسر حجمی بالاتر از 0.8 میزان فرکانس طبیعی ساختار AL2024/ GE-5-4-[90/90/90/90] که دارای زاویه‌چینی نامطلوب 90/90/90/90 می‌باشد بیشتر از میزان فرکانس طبیعی ساختار AL7475/GE-5-4-[0/60/60/0] است که دارای زاویه‌چینی بهینه 0/60/60/0 می‌باشد. بنابراین می‌توان نتیجه گرفت برای کسر حجمی بالاتر از 0.8 میزان اثرگذاری جنس لایه‌های فلزی بر فرکانس طبیعی پوسته FML بیش از میزان اثرگذاری زاویه‌چینی مطلوب فیبرهای تقویت کننده لایه‌های کامپوزیتی است. زیرا برای کسر حجمی بالاتر از 0.8 ساختار [90/90/90/90] که در آن از آلومنیوم 2024 استفاده گردیده است بیش از فرکانس طبیعی ساختار AL7475/GE-5-4-[0/60/60/0] می‌باشد که در آن از آلومنیوم 7475 استفاده شده است.

13- مقایسه میزان اثرگذاری تغییر جنس و تغییر ضخامت بر فرکانس طبیعی پوسته FML

جهت تعیین اثر بخش‌تر بودن تغییر ضخامت و یا تغییر جنس لایه‌های فلزی بر میزان فرکانس طبیعی پوسته‌های FML تغییرات فرکانس طبیعی بر حسب کسر حجمی برای دو ساختار [0/60/60/0] AL7475/GE-5-4-[0/60/60/0] با ضخامت 6 میلی‌متر در "شکل 9" رسم گردیده است.

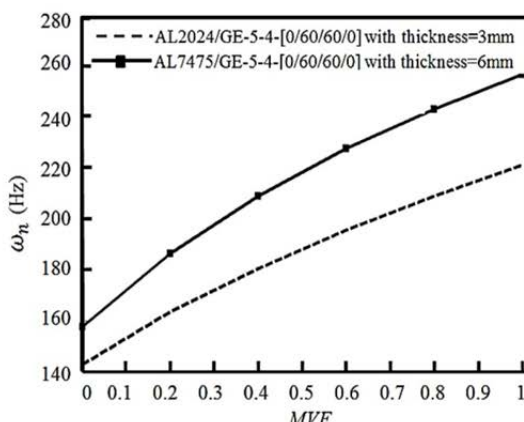


Fig. 9 comparison the efficiency of the change of total thickness of the shell with change of metal layer material on the natural frequency of FML shell

شکل 9 مقایسه میزان اثرگذاری تغییر ضخامت با تغییر جنس لایه‌های فلزی بر فرکانس طبیعی پوسته FML

بنابراین می‌توان نتیجه گرفت برای کسر حجمی کمتر از 0.005 میزان اثرگذاری زاویه‌چینی مطلوب فیبرهای لایه‌های کامپوزیتی بر فرکانس طبیعی پوسته بیش از اثرگذاری ضخامت پوسته می‌باشد. در نتیجه برای ساختار AL/GE-5-4-[90/90/90/90] با ضخامت 6 میلی‌متر و برای کسر حجمی کمتر از 0.005 بهتر است با تغییر زاویه‌چینی لایه‌های کامپوزیتی از 0/60/60/0 درجه به 90/90/90/90 درجه، ضخامت کل پوسته را از 6 میلی‌متر به 3 میلی‌متر کاهش داد تا ضمن افزایش استحکام و فرکانس طبیعی پوسته، ضخامت و در نتیجه وزن پوسته را نیز کاهش داد. در حقیقت برای کسر حجمی کمتر از 0.005 بهتر است از ساختار AL/GE-5-4-[0/60/60/0] با ضخامت 3 میلی‌متر به جای ساختار AL/GE-5-4-[90/90/90/90] با ضخامت 6 میلی‌متر استفاده نمود.

با افزایش کسر حجمی مواد تشکیل دهنده پوسته، میزان فرکانس طبیعی ساختار AL/GE-5-4-[90/90/90/90] که دارای ضخامت 6 میلی‌متر است به طور قابل ملاحظه‌ای بیش از ساختار AL/GE-5-4-[0/60/60/0] می‌گردد که دارای ضخامت 3 میلی‌متر است. زیرا با افزایش کسر حجمی بدعت کم شدن میزان کامپوزیت و افزایش فلز در ساختار پوسته FML از تاثیرگذاری زاویه‌چینی فیبرهای تقویت کننده لایه‌های کامپوزیتی بر فرکانس طبیعی پوسته کاسته می‌شود و اثرگذاری لایه‌های فلزی افزایش می‌باشد در نتیجه میزان ضخامت پوسته تاثیر بیشتری بر فرکانس طبیعی پوسته خواهد داشت.

12- مقایسه میزان اثرگذاری زاویه‌چینی مطلوب فیبرهای تقویت کننده لایه‌های کامپوزیتی و تغییر جنس لایه‌های فلزی بر فرکانس طبیعی پوسته FML

جهت تعیین اثر بخش‌تر بودن زاویه قرارگیری مطلوب فیبرهای تقویت کننده لایه‌های کامپوزیتی و یا تغییر جنس لایه‌های فلزی بر میزان فرکانس طبیعی پوسته‌های FML تغییرات فرکانس طبیعی بر حسب کسر حجمی مواد تشکیل دهنده برای سه ساختار AL7475/GE-5-4-[0/60/60/0] و AL2024/GE-5-4-[0/60/60/0] و AL7475/GE-5-4-[90/90/90/90] در "شکل 8" رسم گردیده است. همان‌طور که در "شکل 8" مشاهده می‌شود برای کسر حجمی کمتر از 0.8 میزان فرکانس طبیعی ساختار AL7475/GE-5-4-[0/60/60/0] که دارای زاویه‌چینی مطلوب 0/60/60/0 می‌باشد بیش از میزان فرکانس طبیعی دو ساختار AL2024/GE-5-4-[0/60/60/0] و AL7475/GE-5-4-[90/90/90/90]

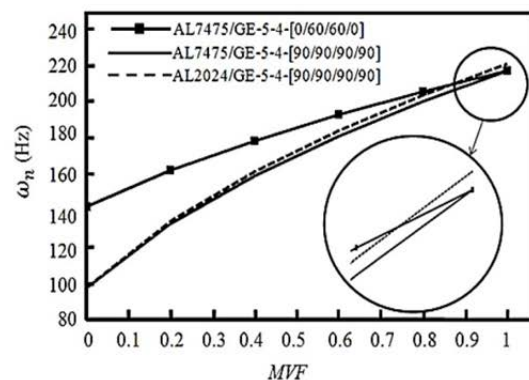


Fig. 8 comparison the efficiency of the layer orientation variation with change of metal layer material on the natural frequency of FML shell
شکل 8 مقایسه میزان اثرگذاری تغییرات زاویه‌چینی فیبرهای تقویت کننده لایه‌های کامپوزیتی با تغییر جنس لایه فلزی بر فرکانس طبیعی پوسته FML

استحکام و زاویه‌چینی این فیبرها با زوایای 90/90/90 درجه منجر به کمترین استحکام برای پوسته می‌گردد که نتایج تحلیل فرکانسی نیز صحت طراحی انجام شده را تائید می‌نماید.

- با افزایش مقدار MVF به بیش از 0.8 اختلاف فرکانس طبیعی پوسته‌های FMI با زاویه‌چینی‌های مختلف بسیار کم خواهد شد. زیرا درصد حجمی بیشتری از پوسته FMI از فلز تشکیل می‌شود و تأثیر لایه‌های کامپوزیتی بر فرکانس طبیعی پوسته FMI کاهش می‌یابد.
- برای تمامی ضخامت‌های میزان فرکانس طبیعی ساختار AL/GE-5-4-[0/60/60/0] بیش از ساختار AL/GE-5-4-[90/90/90/90] می‌باشد
- با افزایش ضخامت پوسته، به ازاء مقادیر مختلف MVF فرکانس طبیعی افزایش می‌یابد و نسبت افزایش فرکانس طبیعی به ازاء مقادیر مختلف MVF با افزایش ضخامت پوسته، افزایش می‌یابد.
- برای طول‌های مختلف پوسته FMI میزان فرکانس طبیعی ساختار AL/GE-5-4-[0/60/60/0] که دارای زاویه‌چینی مطلوب می‌باشد بیش از ساختار AL/GE-5-4-[90/90/90/90] می‌باشد، که این امر یک دیگر از الزامات تعیین زاویه‌چینی بهینه لایه‌های کامپوزیتی را نشان می‌دهد.
- در این تحقیق برای اولین بار نشان داده شده است که روش مورد استفاده برای افزایش سختی یک پوسته FMI وابستگی بسیار زیادی به کسر حجمی مواد تشکیل‌دهنده آن دارد. در این تحقیق برای افزایش سختی یک پوسته FMI همواره نیاز به افزایش ضخامت آن و یا تغییر جنس لایه‌های فلزی این پوسته‌ها نیست بلکه برای برخی از محدوده‌های کسر حجمی، تغییر زاویه قرارگیری فیبرهای تقویت کننده لایه‌های کامپوزیتی این پوسته‌ها موجب افزایش بیشتر سختی آن‌ها نسبت به افزایش ضخامت یا تغییر جنس لایه فلزی می‌گردد.
- برای کسر حجمی کمتر از 0.8 میزان اثرگذاری زاویه‌چینی بهینه فیبرهای تقویت کننده لایه‌های کامپوزیتی بر فرکانس طبیعی پوسته بیش از میزان اثرگذاری جنس لایه‌های فلزی می‌باشد.
- برای کسر حجمی بیش از 0.8 میزان اثرگذاری جنس لایه‌های فلزی بر فرکانس طبیعی پوسته بیش از میزان اثرگذاری زاویه‌چینی بهینه فیبرهای تقویت کننده لایه‌های کامپوزیتی می‌باشد.
- برای تمامی مقادیر کسر حجمی، میزان اثرگذاری افزایش ضخامت کل پوسته بر فرکانس طبیعی بیش از میزان اثرگذاری تغییر جنس لایه‌های فلزی می‌باشد.

15- پوست

ثوابت کاهش یافته الاستیک لایه شماره L ماده ارتتوپوپیک:

$$Q_{11} = C_{11}\cos^4 + 2(C_{12} + 2C_{44})\sin^2\cos^2 + C_{22}\sin^4 \quad (29)$$

$$Q_{12} = C_{12}(\sin^4 + \cos^4) + (C_{11} + C_{22} - 4C_{44})\sin^2\cos^2 \quad (30)$$

$$Q_{13} = (C_{13}\cos^2 + C_{23}\sin^2) \quad (31)$$

$$Q_{22} = C_{11}\sin^4 + 2(C_{12} + 2C_{44})\sin^2\cos^2 + C_{22}\cos^4 \quad (32)$$

$$Q_{23} = (C_{13}\sin^2 + C_{23}\cos^2) \quad (33)$$

$$Q_{33} = C_{33} \quad (34)$$

همان‌طور که در "شکل 9" مشاهده می‌شود با وجود آن که آلمینیوم 2024 دارای سختی بالاتری نسبت به آلمینیوم 7475 می‌باشد اما برای تمامی مقادیر کسر حجمی میزان فرکانس طبیعی ساختار AL7475/GE-5-4-[0/60/60/0] که دارای ضخامت 6 میلی‌متر می‌باشد و در ساختار آن از آلمینیوم 7475 استفاده شده بیش از ساختار AL2024/GE-5-4-[0/60/60/0] است که دارای ضخامت 3 میلی‌متر می‌باشد و در ساختار آن از آلمینیوم 2024 استفاده شده است. که این امر نشان‌دهنده این مطلب است که برای تمامی مقادیر کسر حجمی میزان اثرگذاری افزایش ضخامت کل پوسته بر فرکانس طبیعی بیش از میزان اثرگذاری تغییر جنس لایه‌های فلزی می‌باشد.

14- نتیجه‌گیری

در این مقاله روشی خلاقانه جهت طراحی پوسته‌های FMI ارائه گردیده و بعد از تعیین بهترین ساختارهای ممکن برای پوسته‌های FMI مورد بررسی، به منظور تعیین صحت و کارایی طراحی انجام شده، تحلیل ارتعاشی پوسته‌های مذکور انجام پذیرفته است. طبق بررسی‌های صورت گرفته روش مورد استفاده در این مقاله برای طراحی ساختار پوسته‌های FMI تا به حال به کار گرفته نشده است و از این لحاظ این مقاله دارای نوآوری قابل قبول است. پس از بررسی و جمع‌بندی تحلیل‌های انجام شده، می‌توان به موارد زیر به عنوان مهمترین نتایج حاصل از این تحقیق اشاره نمود:

- در این تحقیق برای اولین بار با در نظر گرفتن این موضوع که آغاز شکست در پوسته‌های FMI با شکست لایه‌های کامپوزیتی شروع می‌شود، زاویه قرارگیری فیبرهای تقویت کننده لایه‌های کامپوزیتی این پوسته‌ها با هدف دستیابی به بیشترین استحکام ممکن و براساس معیار شکست تنش مازکریم تعیین گردیده‌اند.

- در این مقاله از تئوری ارتقاء یافته مرتبه بالا با در نظر گرفتن تمامی مولفه‌های صفحه‌ای و عرضی تنش‌ها و همچنین در نظر گرفتن تابعی درجه سه برای مولفه‌های جایه‌جایی درون صفحه‌ای و تابعی مرتبه دوم برای مولفه عرضی جایجایی استفاده شده است که علاوه بر افزایش دقت نتایج استخراج شده امکان تحلیل پوسته‌های جدار نازک و ضخیم را فراهم می‌آورد.

- از آن‌جانی که در مقاله حاضر هدف، بیشینه کردن تابع هدف بدون هرگونه محدودیتی بر روی متغیرهای طراحی می‌باشد از روش شمارش کامل که منجر به جواب دقیق برای مساله می‌گردد استفاده شده است.

- به منظور تعیین کارایی روش ارائه شده برای بهینه‌سازی ساختار پوسته‌های FMI در این تحقیق یک پوسته FMI نه لایه متشکل از پنج لایه آلمینیومی و چهار لایه شیشه‌آلپوکسی که هر یک از لایه‌های کامپوزیتی آن از چهار تک لایه تشکیل شده است مورد بررسی قرار گرفت. هر یک از این تک لایه‌ها امکان قرارگیری با زوایای 60, 30, 0 و 90 درجه را دارد. نتایج تحلیل‌های صورت گرفته نشان داد قرارگیری فیبرهای تقویت کننده لایه‌های کامپوزیتی با زوایای 0/60/60/0 درجه منجر به بیشترین استحکام و قرارگیری این فیبرها با زوایای 90/90/90/90 درجه منجر به کمترین استحکام برای پوسته مورد بررسی می‌گردد.

- برای نمونه مورد بررسی در این تحقیق میزان فرکانس طبیعی ساختار AL/GE-5-4-[0/60/60/0] بر حسب مقادیر مختلف MVF بیش از ساختار AL/GE-5-4-[90/90/90/90] می‌باشد که همین امر نشان‌دهنده این صحت فرایند طراحی می‌باشد. زیرا زاویه‌چینی فیبرهای تقویت کننده لایه‌های کامپوزیتی پوسته FMI مذکور با زوایای 0/60/60/0 درجه منجر به بیشترین

- [4] R. Nabavi, M. H. Yas, M. Shakeri, Natural frequency optimization of laminated cylindrical shell subjected to Tsai-Hill failure criteria constraint using penalty method, *Key Engineering Materials*, Vol. 334, No.1, pp. 9-12, 2007.
- [5] S. Y. Yaokuo, S. LeChung, Buckling and vibration of composite laminated plates with variable fiber spacing, *Composite Structures*, Vol. 90, No. 2 , pp.196-209,2009.
- [6] K. Malekzadeh, S. M. R. Khalili, A. Davar, Transient dynamic response of clamp-free hybrid composite circular cylindrical shells, *Apply Composite Material*, Vol. 17, No. 10, pp. 243-257, 2010.
- [7] F. Kaviani, H. R. mirdamadi, Free vibration analysis of laminated composite plate by a novel four variable refined theory, *Modares Mechanical Engineering*, Vol. 12, No. 6, pp. 147-158, 2011. (in Persian)
- [8] S. M. R. Khalili, A. Davar, K. MalekzadehFard, Free vibration analysis of homogeneous isotropic circular cylindrical shells based on a new three-dimensional refined higher-order theory, *International Journal of Mechanical Sciences*, Vol. 56, No. 1, pp. 1-25, 2012.
- [9] L. Zhao, J. Wu, Natural frequency and vibration modal analysis of composite laminated plate, *Advanced Materials Research*, Vol. 711, No.1, pp. 396-400, 2013.
- [10] K. MalekzadehFard, M. R. Hasanabadi, Free vibration and static bending analysis of curved sandwich panel with magneto-rheological fluid layer in sheets using improved high order sandwich panel theory, *Science and Technology of Composites*, Vol. 1, No. 2, pp. 49-62, 2014.
- [11] Ye. Tiangui, G. Jin, X. Ma, Three-dimensional free vibration analysis of thick cylindrical shells with general end conditions and resting on elastic foundations, *International journal of Mechanical sciences*, Vol. 84, No. 1, pp. 120-137, 2014.
- [12] I. Sen, R. C. Alderliesten, Design optimization procedure for fiber metal laminates based on fatigue crack initiation, *Composite Structures*, Vol. 120, No. 5, pp. 275-284, 2015.
- [13] A. Tullu, B. Kang, Elastic deformation of fiber-reinforced multi-layered composite cylindrical shells of variable stiffness, *Composites Part B: Engineering*, Vol. 100, No. 1, pp. 44–55, 2016.
- [14] M. Marjanovic, D. Vuksanovic, free vibrations of laminated composite shells using the rotation-free plate elements based on reddy's layerwise discontinuous displacement model, *Composite Structures*, Vol. 156, No. 1, pp. 320-332, 2016.
- [15] R. Nezam-Eslami, A. Esmailizadeh, H. Khosravi, M. R. Zamani, Analysis of linear vibrational behavior of anisogrid lattice composite conical shells formed by helical ribs, *Modares Mechanical Engineering*, Vol. 17, No. 3, pp. 251-262, 2017. (in Persian)
- [16] M. Zarei, G. H. Rahimi, Free vibration analysis of grid stiffened composite conical shells, *Science and Technology of Composites*, Vol. 4, No. 1, pp. 1-8, 2017. (in Persian)
- [17] M. Zarei, G. H. Rahimi, Free vibration analysis of rotating grid stiffened composite cylindrical shells, *Modares Mechanical Engineering*, Vol. 16, No. 9, pp. 175-185, 2017. (in Persian)

$$Q_{44} = (C_{11} - 2C_{12} + C_{22} - 2C_{44})\sin^2\cos^2 + C_{44}(\sin^4 + \cos^4) \quad (35)$$

$$Q_{55} = C_{55}\cos^2 + C_{66}\sin^2 \quad (36)$$

$$Q_{66} = C_{55}\sin^2 + C_{66}\cos^2 \quad (37)$$

که در این روابط داریم:

$$C_{11} = \frac{E_1(1 - v_{23}v_{32})}{v^*} \quad (38)$$

$$C_{12} = \frac{E_1(v_{21} - v_{31}v_{23})}{v^*} \quad (39)$$

$$C_{22} = \frac{E_2(1 - v_{13}v_{31})}{v^*} \quad (40)$$

$$C_{13} = \frac{E_1(v_{31} - v_{21}v_{32})}{v^*} \quad (41)$$

$$C_{23} = \frac{E_2(v_{32} - v_{12}v_{31})}{v^*} \quad (42)$$

$$C_{33} = \frac{E_3(1 - v_{12}v_{21})}{v^*} \quad (43)$$

$$C_{44} = G_{12} \quad (44)$$

$$C_{66} = G_{23} \quad (45)$$

$$C_{55} = G_{13} \quad (46)$$

$$v^* = (1 - v_{12}v_{21} - v_{23}v_{32} - v_{13}v_{31} - 2v_{21}v_{32}v_{13}) \quad (47)$$

مراجع-16

- [1] Y. Lam, C. Loy, Influence of boundary conditions and fiber orientation on the natural frequencies of thin orthotropic laminated cylindrical shells, *Composite Structures*, Vol. 31, No. 1, pp. 21-30, 1995.
- [2] H. W. Nam, W. Hwang, Stacking sequence design of fiber-metal laminate for maximum strength, *Composite Materials*, Vol. 35, No. 18, pp. 1654-1683, 2001.
- [3] V. Unghakorn, P. Singhatanadgid, Similitude and physical modeling for buckling and vibration of symmetric cross-ply laminated circular cylindrical shells, *Composite Materials*, Vol. 37, No. 18, pp. 1654-1683, 2003.